

## بررسی تنوع ژنتیکی جدایه‌های ویروس موزائیک جنوبی مرغ بر اساس ترادف نوکلئوتیدی ناحیه<sup>\*</sup> ۳ ژنوم<sup>\*</sup>

### GENETIC VARIATION OF BERMUDA GRASS SOUTHERN MOSAIC VIRUS ISOLATES BASED ON SEQUENCE OF 3<sup>□</sup> REGION OF GENOME

فریده فرح بخش<sup>۱</sup>، محمود معصومی<sup>\*\*۲</sup>، علیرضا افشاریفر<sup>۱</sup>، کرامت الله ایزدپناه<sup>۱</sup>  
و نرجس راه‌پیما سروستانی<sup>۳</sup>

(تاریخ دریافت: ۱۳۹۰/۱۱/۱۶؛ تاریخ پذیرش: ۱۳۹۱/۷/۱۹)

#### چکیده

ویروس موزائیک جنوبی مرغ (Bermuda grass southern mosaic virus, BgSMV)، فراوان‌ترین ویروس مولد موزائیک در مرغ در نواحی گرمسیری جنوب ایران می‌باشد. به منظور تعیین تنوع ژنتیکی BgSMV، گیاهان مرغ با علائم موزائیک از جیرفت، بوشهر، برآز جان، رامهرمز، اندیمشک، شوشتر، بهبهان و داراب جمع‌آوری و ناحیه<sup>\*</sup> ۳ ژنوم آنها با استفاده از آغازگرهای اختصاصی این ویروس با روش RT-PCR تکثیر و همسانه‌سازی شد. ناحیه CP-UTR این جدایه‌ها بهمراه تعدادی از ترادف‌های پوتی ویروس‌های غلات موجود در بانک ژن مقایسه و پس از انجام هم‌دیفسازی چندگانه، مورد تجزیه و تحلیل فیلوژنتیکی قرار گرفت. جدایه‌های مورد مقایسه در درخت فیلوژنتیکی در ۶ شاخه جداگانه قرار گرفتند که عبارت بودند از: BgSMV، ویروس موزائیک کوتولگی ذرت (Maize dwarf mosaic virus, MDMV)، ویروس موزائیک نیشکر (Johnson grass mosaic virus, JGMV)، ویروس موزائیک قیاق (Sugarcane mosaic virus, SCMV) و دو ویروس موزائیک ایرانی قیاق (Iranian Johnson grass mosaic virus, IJMV) و سورگوم (Sorghum mosaic virus, SrMV) و موزائیک زآ (Zea mosaic virus, ZeMV) که در یک شاخه قرار گرفتند. در بین پوتی ویروس‌ها، BgSMV بیشترین تشابه را با MDMV داشت. اما در ناحیه ۵ ژن پروتئین پوششی BgSMV<sup>۹۰</sup> نوکلئوتید (معادل آمینو اسید) بیشتر از MDMV داشت و این مساله در تمام جدایه‌های BgSMV صادق بود. میانگین درصد تشابه نوکلئوتیدی ناحیه CP-UTR بین جدایه‌های BgSMV<sup>۹۸/۱</sup> درصد به‌دست آمد که نشان‌دهنده تنوع ژنتیکی پایین این ویروس در این ناحیه از ژنوم است. به رغم وجود تشابه نوکلئوتیدی بالای MDMV با BgSMV<sup>۹۰</sup>، با توجه به تفاوت‌های اساسی از نظر دامنه میزانی و سرولوژی بین دو ویروس وجود یک قطعه<sup>۵</sup> نوکلئوتیدی اضافی در ناحیه CP بعثونان گونه‌ای نزدیک به MDMV در جنس پوتی ویروس در نظر گرفته می‌شود.

واژه‌های کلیدی: پوتی ویروس، آنالیزهای فیلوژنی، ویروس موزائیک جنوبی مرغ، ویروس موزائیک کوتولگی ذرت، ناحیه CP-UTR

\*: بخشی از پایان نامه کارشناسی ارشد نگارنده اول، ارائه شده به دانشکده کشاورزی، دانشگاه شیراز

\*\*: مسئول مکاتبات، پست الکترونیکی: masoumi@shirazu.ac.ir

۱. به ترتیب دانشجوی سابق کارشناسی ارشد، دانشیار و استاد بیماری شناسی گیاهی، مرکز تحقیقات ویروس شناسی گیاهی دانشگاه شیراز

۲. استادیار پژوهش، مرکز تحقیقات کشاورزی و منابع طبیعی فارس و مرکز تحقیقات ویروس شناسی گیاهی دانشگاه شیراز

۳. دانشجوی سابق کارشناسی ارشد اصلاح نباتات، دانشکده کشاورزی، دانشگاه شیراز

## مقدمه

(Izadpanah 2000, Masumi *et al.*, 2004, Zare *et al.* 2005).

این ویروس که به نام ویروس موزائیک جنوبی مرغ (Bermuda grass southern mosaic virus, BgSMV) نامیده شد (Masumi and Izadpanah 2000) از نظر تراالف نوکلئوتیدی، خصوصیات سرولوژیکی، انتقال و دامنه میزبانی تشابه بسیار زیادی با MDMV که گستردۀ ترین پوتی ویروس ذرت در دنیا می‌باشد دارد، ولی به دلیل داشتن ۹۰ نوکلئوتید اضافی نسبت به MDMV در ناحیه ۵ رن پروتئین پوششی (CP)، تشکیل مهمیزک (spur) در آزمون نشت دو طرفه در ژل آگار، عدم توانایی انتقال با شته *Rhopalosiphum maidis* و عدم ایجاد آلودگی در قیاق، از MDMV متمایز می‌شود (Zare *et al.* 2005).

گروه دوم شامل جدایه‌هایی است که در مناطق معتدل ایران از جمله شیراز و کرج شایع هستند و به نام ویروس (Bermuda grass mosaic virus, BgMV) موزائیک مرغ (Bermuda grass mosaic virus, BgMV) نامیده شدند (Masumi and Izadpanah 2000). از نظر ویژگی‌های علامت شناسی، مورفو‌لوژی و انتقال، به پوتی ویروس‌ها تشابه دارد ولی فاقد رابطه سرولوژیک با Hosseini and Izadpanah (Hosseini and Izadpanah 2005) پوتی ویروس‌های غلات است (SpMV) Spartina mottle virus (SpMV) با BgMV (SpMV) Spartina mottle virus (SpMV) قرابت سرولوژیکی و فیلوجنتیکی دارد و جنس جدید Sparmovirus برای آنها پیشنهاد شده است (Hosseini *et al.* 2010). به رغم فراوانی BgSMV در جنوب ایران در خصوص میزان تنوع ژنتیکی آن اطلاعاتی در دست نیست. در این تحقیق، میزان تنوع ژنتیکی بین جدایه‌های مختلف BgSMV جمع‌آوری شده از مناطق جیرفت، برازجان، بوشهر، شوشتر، اندیمشک، بهبهان، رامهرمز و داراب با استفاده از آنالیز مولکولی تراالف ناحیه CP-UTR مورد بررسی قرار گرفت.

گیاهان غیرزراعی تیره غلات به ویژه گونه‌های چندساله از قبیل مرغ، میزبان تعداد زیادی از ویروس‌های گیاهی هستند که برخی از آنها دارای اهمیت اقتصادی بوده و تعدادی دارای اهمیت بالقوه هستند (Buddenhagen 1983). علف هرز مرغ یا (*Cynodon dactylon*) Bermuda grass به طور گستردۀ ای در سراسر دنیا در شرایط اقلیمی مختلف انتشار دارد. تاکنون چندین ویروس از جمله ویروس (Bermuda grass etched-line virus, BELV) خراشک مرغ ویروس سوارک سبز مرغ (Cynodon chlorotic streak virus, CCSV) کوتولگی زرد جو (Barley yellow dwarf virus, BYDV) ویروس MDMV، SCMV و ویروس پژمردگی لکه‌ای گوجه فرنگی (Tomato spotted wilt virus, TSWV) در مناطق مختلف جهان از مرغ گزارش شده‌اند (Garrido and Trujillo 1992, Jorda *et al.* 1995, Lockhart *et al.* 1985a, b, Louie 1980, McKirdy and Jones 1993) در ایران نیز این علف هرز منع چندین ویروس می‌باشد که تعدادی از آنها از لحاظ اقتصادی اهمیت دارند (Izadpanah 1989; Izadpanah *et al.* 2003; Masumi and Izadpanah 1996). برای اولین بار علامت موزائیک در مرغ توسط معصومی و ایزدپناه ابتدا در شیراز و سپس در سایر مناطق کشور دیده شد (Masumi and Izadpanah 1998). بررسی‌های بیشتر نشان داد که ویروس‌های مولدموزائیک مرغ در دو گروه قرار می‌گیرند (Masumi and Izadpanah 2000). گروه اول شامل جدایه‌هایی است که گسترش وسیعی در نواحی گرم‌سیر جنوب ایران مانند جیرفت، بوشهر و اهواز دارند و در طبیعت علاوه بر مرغ، ذرت و رشدی را نیز آلوده می‌کنند (Ghasemi and Izadpanah 2000; Masumi and

میکرومولار از هرکدام از آغازگرهای رفت و برگشت (جدول ۱)، ۵ واحد آنزیم (Cinagen, Iran) *Taq DNA polymerase* و ۳ میکرولیتر cDNA بود و در نهایت حجم مخلوط با افزودن آب مقطر دو بار تقطیر استریل به ۵۰ میکرولیتر رسانده شد. برنامه PCR مشکل از یک چرخه ۹۴ درجه سانتی گراد به مدت ۴ دقیقه به منظور واسرشته‌سازی اولیه و ۳۵ چرخه شامل واسرشته‌سازی در ۹۴ درجه سانتی گراد به مدت ۱ دقیقه، تافتن (Annealing) به مدت ۱ دقیقه در دمای مناسب برای هر جفت آغازگر (جدول ۲) و سنتز در ۷۲ درجه سانتی گراد به مدت ۲ دقیقه، به علاوه یک چرخه در دمای ۷۲ درجه سانتی گراد به مدت ۱۰ دقیقه برای امتداد رشته‌ها (Extension) بود. واکنش PCR در دستگاه ترموسایکلر (Extension) شرکت اپندورف و یا مدل iCycler شرکت Bio Rad انجام شد.

محصول PCR با استفاده از InsT/Aclone PCR Product طبق دستورالعمل سازنده (Fermentas) در Cloning Kit پلاسمید pTZ57R/T وارد و در بакتری *E. coli* استرین DH5α هم سانه سازی گردید. پلاسمیدها پس از استخراج به روش هولمز و کویگلی (Holmes and Quigley 1981)، به منظور تعیین ترافق به شرکت ماکروژن (کره جنوبی) ارسال گردیدند و با استفاده از آغازگرهای عمومی M13 تعیین ترافق شدند.

### آنالیز فیلوژنیک

پس از تجمعی قطعات تعیین ترافق شده حاصل از ۳ تا ۶ کلنسی از هر قطعه ترافق استنتاجی (Consensus sequence) با استفاده از نرمافزارهای DNAMAN و DNASTAR به دست آمد. سپس این ترافق‌ها با ترافق سایر پوتی ویروس‌های مرتبط موجود در بانک ژن (جدول ۴) شامل SCMV، IJMV، JGMV، MDMV و SrMV مقایسه شد.

### روش بررسی

#### BgSMV منبع جدایه‌های

جدایه‌های مورد مطالعه از گیاهان مرغ با علائم موزائیک از مناطق جیرفت، برازجان، بوشهر، شوشتر، اندیمشک، بهبهان و داراب جمع آوری گردید و از هر منطقه تنها یک نمونه برای استخراج ویروس و تعیین ترافق نوکلئوتیدی ناحیه CP-UTR مورد استفاده قرار گرفت.

### استخراج ویروس، جداسازی RNA و واکنش RT-PCR

پس از عصاره‌گیری نمونه‌ها در ۳ حجم بافر سیترات آمونیوم ۰/۱ مولار، pH=۶/۵، با کلروفرم به نسبت ۳۰ درصد تیمار و سانتریفیوژ شدند و از رونشین به دست آمده برای تهیه cDNA استفاده گردید. مراحل استخراج RNA با استفاده از کیت mRNA Capture (Roche) طبق دستورالعمل سازنده انجام شد. از آر ان ای متصل شده به Reverse Moloney murine Transcription، RT Reverse Transcriptase (leukemia virus, MmLV) استفاده شد. واکنش RT با مخلوط نمودن ۰/۴ میکرولیتر بافر ۵ برابر غلاظت مخصوص، ۰/۶ میلی مولار DTT، ۰/۴ میلی مولار مخلوط dNTPs میکرومولار آغازگر Oligo dT N1T (جدول ۱) و ۲۰ واحد آنزیم MmLV تهیه شد. مخلوط حاصل با افزودن آب به حجم ۵۰ میکرولیتر رسانده و در دمای ۴۲ درجه سانتی گراد به مدت یک ساعت نگهداری گردید. حاصل از واکنش RT با واکنش زنجیره‌ای پلیمراز تکثیر شد. مخلوط مورد استفاده در واکنش PCR شامل ۵ میکرولیتر *Taq DNA polymerase buffer* ۱/۵ (۱۰×)، ۰/۴ میلی مولار MgCl<sub>2</sub>، ۰/۲ میلی مولار مخلوط dNTPs و ۰/۴ میلی مولار MDMV.

## جدول ۱. آغازگرهای مورد استفاده در واکنش زنجیره‌ای پلیمراز برای تکثیر ناحیه CP-UTR جدیه‌های BgSMV

Table 1. Primers used in polymerase chain reaction (PCR) for amplification of the CP-UTR region of BgSMV isolates

Name	Orientation	Sequence**	Reference
N1T	Reverse	5'-GACCACCGTATCGATGTCGAC(T)18- 3'	Ha <i>et al.</i> 2007
MDR3	Reverse	5'-ACCAVACCATYARWCCACTC-3'	*
MDR1	Reverse	5'-RTGCATRATTGCTGAAAGTTGG-3'	*
BJPr2	Reverse	5'-GTGCTGGAGTGCGAGATGAC-3'	*
BJPr1b	Reverse	5'-CGGTTAACGTTGCTGAAGTCC-3'	*
BJPf2	Forward	5'-CACACGAGCAACCAAGGCTG-3'	*
BJPf1	Forward	5'GATCTTCCAGATTATTGGCTGAYG- 3'	*
MDF3	Forward	5'-GATGAGTTRAAYGTYTATGCACGAC- 3'	*
Oligo1n	Forward	5'-ATGGTHTGGTGYATHGARAAYGG- 3'	Mari-Jeanne <i>et al.</i> 2000
Oligo2n	Reverse	5'-TGCTGCKGCYTCATYTG-3'	Mari-Jeanne <i>et al.</i> 2000

\*:Primes used in this study

\*\*: Degenerated Codes: V(A/C/G), D(A/G/T), M(A/C), Y(T/C), R(A/G)

## جدول ۲. چرخه دمایی آزمون واکنش زنجیره‌ای پلیمراز برای آغازگرهای مندرج در جدول ۱

Table 2. Thermal cycle used in polymerase chain reaction (PCR) for primers of table 1

Number of cycle	Reaction stage	Temperature (°C)	Time(min)
1	Initial denaturation	94	4
	Denaturation	94	1
	Annealing	*	1
	Extension	72	1
1	Final extension	72	1

\* دمای تافتان ۵۶ °C برای جفت آغازگر Mdf3/MDr3

دمای تافتان ۶۰ °C برای جفت آغازگر Mdf3/MDr1

دمای تافتان ۵۸ °C برای جفت آغازگرهای BjpF2/N1T, BjpF1/BjPr1b, BjpF1/BjPr2 و BjPr2/N1T

\*56 °C for primer pair Mdf3/MDr3

60 °C for primer pair Mdf3/MDr1

58 °C for primer pairs BjpF1/BjPr2, BjpF1/BjPr1b and BjpF2/N1T

با استفاده از برنامه Treeview1.6.6 (Page 1996) ترسیم گردید. در این آنالیز ویروس موزائیک رگهای گندم (Wheat streak mosaic virus, WSMV) به عنوان out group به کار گرفته شد.

برای مقایسه جدایه‌های BgSMV با یکدیگر و نیز با سایر پوتوی ویروس‌های غلات از ترادف نوکلئوتیدی ژن

گردیدند. هم‌دیفسازی چندگانه (Multiple alignment) با برنامه‌های CLUSTAL X (DNASTAR) MegAlign و (Thompson *et al.* 1997) انجام و مشابهت نوکلئوتیدی و آمینواسیدی با روش Neighbour joining در برنامه CLUSTAL X محاسبه شد. درخت فیلوژنتیکی حاصل از هم‌دیفسازی چندگانه

در پروتئین است. در غیر این صورت پروتئین در سطح آمینو اسیدی محافظت شده (Conserved) بوده و انتخاب منفی در تکامل و تغییر ویروس دخالت داشته است. در صورتی که این نسبت برابر با یک باشد تکامل خشی داشته است.

برای بررسی این نسبت از برنامه Phylogenetic Analysis by Maximum Likelihood (Phy) از بسته نرم‌افزاری MEGA 5.05 (Tamura *et al.* 2011) استفاده شد که جانشینی‌ها را در جایگاه کدونی آمینو اسیدی محاسبه می‌کند. برای این کار ابتدا آزمون خشی بودن با Z-test (Neutrality test) به دو روش Tajima's test و Tajima's test (Nei & Kumar 2000) با مدل تکاملی Nei-Gojobori (Nei & Kumar 2000) با همان نرم‌افزار انجام گرفت و در صورت رد فرضیه صفر مبنی بر نبودن حالت خشی و امکان وقوع جانشینی مثبت یا منفی نسبت جانشینی تعیین گردید. همچنین تنوع ژنتیکی (Genetic diversity) با همان بسته نرم‌افزاری در درون گونه‌ها و بین گونه‌ها با مدل Kimura 2-parameter محاسبه گردید.

### نتیجه

با تجمعی قطعات نوکلئوتیدی حاصل از ترادف یابی، قطعاتی به اندازه ۱۲۸۴-۱۲۴۶ نوکلئوتید به دست آمد. قطعات تعیین ترادف شده شامل قسمتی از نیمه ۳' زن NIb (در جدایه‌های مختلف ۴۸-۸۴ نوکلئوتید) و کل زن پروتئین پوششی (۹۶۳ نوکلئوتید) و ناحیه ترجمه نشدنی ۲۳۲-۲۳۴ (3'-untranslated region, 3'-UTR) (ORF) نوکلئوتید است. کدون خاتمه چهارچوب خوانش (TAA) و در تعدادی TGA پلی پروتئین ویروس در انتهای زن CP در برخی جدایه‌ها سایت برشی احتمالی CP با NIb

کامل CP به علاوه ترادف نوکلئوتیدی ناحیه 3'-UTR (CP-UTR) استفاده گردید.

### بررسی روند تغییرات در ترادف نوکلئوتیدی CP-UTR ناحیه

تشابه نوکلئوتیدی با روش maximum likelihood با مدل جانشینی نوکلئوتیدی F84 و بانسبت transition/transversion نوکلئوتیدی محاسبه می‌شود، در طول ترادف نوکلئوتیدی CP-UTR با برنامه SimPlot محاسبه گردید و طرح تشابه ترسیم گردید. در این روش تشابه گروه‌های (ویروس‌های مختلف نسبت به یک ویروس سنجیده می‌شود (Ray 1999).

### بررسی وقوع نوترکیبی بین BgSMV و سایر پوتی ویروس‌های غلات

برای بررسی امکان وقوع نوترکیبی بین پوتی ویروس‌ها، به ویژه بین BgSMV و سایر ویروس‌ها، ترادف‌های (Ray 1999) SimPlot CP-UTR و نرم‌افزار RDP3 برنامه‌های Bootscan و MaxKai مورد بررسی قرار گرفت.

### بررسی نسبت جانشینی مترادف و غیر مترادف آمینو اسیدی و فشار انتخاب

نسبت جانشینی غیر مترادف (Non-Synonymous) به مترادف (Synonymous) در آمینو اسیدها که با علامت  $\omega$  نشان می‌دهند، تخمین مناسبی از فشار انتخاب (Selective pressure) در سطح پروتئین به دست می‌دهد (Kimura 1983). اگر این نسبت بالاتر از یک باشد نشان‌دهنده انتخاب مثبت و تثیت جانشینی آمینو اسیدی

## جدول ۳. اندازه ترادف نوکلئوتیدی جدایه‌های BgSMV در قسمت‌های مختلف ناحیه انتهای ۳' زنوم

Table 3. Length (nt) of 3'- region in BgSMV isolates.

	Segment length (nt)	NIB	CP	3'UTR	Termination codon
Behbahan	1284	84	963	233	TGA
Andimeshk	1249	48	963	234	TAA
Borazjan	1246	48	963	232	TGA
Bushehr	1246	48	963	232	TAA
Jiroft	1281	81	963	234	TGA
Ramhormoz	1248	48	963	234	TGA
Shushtar	1246	48	963	232	TGA
Darab	1248	48	963	234	TGA

ویروس‌های مختلف بین ۸۵/۸-۵۴/۶ درصد متغیر است. کمترین میزان تشابه بین این ویروس با JGMV و بیشترین درصد تشابه بین این ویروس با MDMV به دست آمد. با بررسی درصد شباهت نوکلئوتیدی درون جدایه‌های مختلف BgSMV بیشترین درصد شباهت بین دو جدایه بهبهان و شوشتر (۹۹/۸) و کمترین شباهت بین دو جدایه داراب و برازجان (۹۲/۴) به دست آمد (جدول‌های ۶ و ۷). CP-UTR با هم‌دیف سازی چندگانه ترادف ناحیه جدایه‌های BgSMV با ترادف‌های تعدادی از جدایه‌های MDMV موجود در بانک ژن مشخص شد که تمام جدایه‌های تعیین ترادف شده BgSMV، در ناحیه ۵' ژن CP، بیش از ۹۰٪ نوکلئوتیدی مدارند (شکل ۳).

### روند تغییرات در تشابه نوکلئوتیدی بین BgSMV و سایر پوتوی ویروس‌های غلات در ناحیه CP- UTR

تشابه هر ویروس نسبت به سایر ویروس‌ها با برنامه Simplot در ناحیه CP- UTR ترسیم گردید (شکل ۴). طرح مشابه (Similarity Plot) بر اساس تشابه نوکلئوتیدی در جایگاه‌های مختلف از طرف ۳' به ترسیم گردید. در این مقایسه BgSMV به عنوان مبنای قرار

است. طرح حفاظت شده DAG که در انتقال با شته D-X43-D-R-Niz که محل اتصال پروتئینJacquet et al. 1998 در این ژن (N-terminal) قرار دارد (Aterya et al. 1991; Gordon 1989) در ترادف‌های به دست آمده از ژن CP جدایه‌های BgSMV مشاهده شدند (شکل ۱). به علاوه طرح حفاظت شده R-X43-D-Niz که محل اتصال پروتئینJacquet et al. 1998 در این ژن (N-terminal) قرار دارد (Aterya et al. 1991; Gordon 1989) در ترادف‌های به دست آمده از ژن CP جدایه‌های BgSMV مشاهده شدند (شکل ۱). موقعیت طرح‌های ذکر شده در ژن پروتئین پوششی جدایه‌های BgSMV در جدول ۵ مشخص شده است.

رابطه فیلورژنیکی پوتی ویروس‌های غلات که بر اساس ترادف ناحیه CP-UTR ترسیم شده است، در شکل ۲ مشاهده می‌شود. در درخت فیلورژنیک ترادف‌های مربوط به جدایه‌های مختلف BgSMV در کنار جدایه‌های MDMV، اما در شاخه‌ای جداگانه قرار می‌گیرند. ترادف‌های SrMV، JGMV و SCMV در زنگنه گروه جداگانه‌ای را تشکیل می‌دهند. ZeMV و IJMV نیز در یک شاخه قرار می‌گیرند. میزان تشابه نوکلئوتیدی بین جدایه‌های مختلف BgSMV بیش از ۹۰٪ و بین پوتی

جدول ۴. رس شمار و منشا پوتوی ویروس‌های غلات که در آنالیزهای فیلوجنتیک به کار برده شدند.

Table 4. Accession numbers and origins of cereal potyviruses used in phylogenetic analysis

virus	accession No.	strain or isolate	country
MDMV	AF395135		Israel
MDMV	FM883223	Sz0705	Hungary
MDMV	AJ001691	MDMV-BU	Bulgaria
MDMV	NC 003377	ACOL01003377.1	USA
MDMV	AM110758	SP	Spain
MDMV	AJ416634	M3	Spain
MDMV	DQ973169	MDMV-Arg	Argentina
MDMV	U007216	MDMV-JIL	USA
MDMV	AJ542536	Sc/H	Hungary
JGMV	U07218	JGMV-KS1	USA
JGMV	AF032404	Krish	Australia
JGMV	Z26920	JGMV-AUST	Australia
ZeMV	AF228693		Israeal
IJMV	AF533363	IJMV-Shiraz	Iran
SCMV	D00948	Sc	Australia
SCMV	U57354	A	USA
SCMV	U57357	E	USA
SCMV	D00949	SCMV-MDB	USA
SCMV	AJ006200	SCMV-G952	Germany
SCMV	AJ271085	Zhejiang	China
SrMV	U57360	SrMV-SCM	USA
SrMV	U07219	SrMV-Sch	USA
BgSMV	KC107758	Behbahan	Iran
BgSMV	KC107759	Andimeshk	Iran
BgSMV	KC113506	Shushtar	Iran
BgSMV	KC113505	Ramhormoz	Iran
BgSMV	KC113504	Jiroft	Iran
BgSMV	KC107761	Bushehr	Iran
BgSMV	KC107760	Borazjan	Iran
BgSMV	KC113507	Darab	Iran

ناحیه است. سپس از موقعیت نوکلئوتیدی حدود ۳۵۰ شیب منحنی به شکل یکنواختی رو به کاهش می‌گذارد. این قسمت به دلیل نزدیک تر بودن به خط مبدا، بیشترین تشابه را نشان می‌دهد و مربوط به ناحیه میانی ژن CP (ناحیه حفاظت شده ژن CP) می‌باشد. از موقعیت نوکلئوتیدی حدود ۷۰۰، شیب منحنی با زاویه

گرفته و سایر ویروس‌ها با آن مقایسه شدند. در این طرح (شکل ۴) BgSMV به ترتیب با MDMV، SCMV و IJMV بیشترین شباهت را داشت. همان‌طور که در شکل ۴ مشاهده می‌شود، از موقعیت نوکلئوتیدی حدود ۲۲۰ بتدريج شیب منحنی افزایش می‌يابد. اين قسمت که مربوط به ناحیه آمينی CP است نشان‌دهنده تفاوت زياد در اين

ELNVYARQFFNDLPDYLA**DEVIDVKHQ/AGENVDAG**QETEAQKEAKKAAEKKARE  
 TEAKRKQEAETKQKADEEARERQRVKEAADKKKAEDDAKKAAEKPSGSGSAE**KDK**  
**DV**DAGTLGSMTVPKLAMSKKMRPQAKGNILHLDFLQQDLSNTRATKAE  
 FD\*RWYEAVQKEYELDDTQMTVVMSG**MVWCIENGSP**NINGVWTMMD\*GDEQRTF  
 PLKPVENASPTFRQIMHFSDAAEA YIEYRNSTEKYMPRYGLQRLNTDFSLARYAFDFY  
 EMSSRTPARAKEAHM**QMKA**AAVRGSNTRMFGLDGNVGETQENTERHTAGDVSRNMH  
 SLLGVQQGH

شکل ۱. موقعیت جایگاه‌های برشی و طرح‌های حفاظت شده پروتئین پوششی جدايه‌های BgSMV

Fig. 1. Positions of cleavage sites and conserved motifs in CP of BgSMV isolates

جدول ۵. موقعیت طرح‌های حفاظت شده در CP جدايه‌های BgSMV

Table 5. Position of conserved motifs in CP of BgSMV isolates

Conserved motifs	Amino acid position in BgSMV CP	Putative function
DAG	6-8	Aphid transmission
MVWCIENGSP	169-179	Motif of coat protein
K/DK/DV	83-87	N-terminal cleavage site of CP
QMKAAA	272-277	Motif of coat protein
R-X43-D	145-189	RNA binding

جدول ۶. درصد تشابه (Similarity) نوکلئوتیدی گونه‌های مختلف پوتی ویروس‌های غلات بر اساس ناحیه CP-UTR

Table 6. Nucleotide identity between cereal potyvirus species in CP- UTR region

	JgMV	IJMV	MDMV	BgSMV	SrMV	SCMV
JgMV						
IJMV	38.2-42.1					
MDMV	38.1-41.5	61-72.2				
BgSMV	37-52.3	58.9-69.8	85.5-90.2			
SrMV	38.8-56	60.4-64.5	65.2-72.6	70.1-72.2		
SCMV	38.1-52.7	62.2-63.3	62-65.2	59.3-66.6	56.3-61.5	

.(B-۴) MDMV یکسان است (شکل

کمتری نسبت به ناحیه آمینی CP افزایش می‌یابد. این تغییر شبیه مربوط به ناحیه کربوکسیلی CP است که نسبت به ناحیه آمینی تغییرپذیری کمتر دارد (شکل A-۴). با مبنای قرار دادن ویروس SCMV مشخص شد که تغییرات در جایگاه‌های نوکلئوتیدی بین دو ویروس BgSMV و

### ردیابی نوترکیبی در BgSMV

وقوع نوترکیبی در جدايه‌های BgSMV به روش BootScan مورد بررسی قرار گرفت (نشان داده

## جدول ۷. درصد تشابه نوکلئوتیدی جدایه‌های مختلف BgSMV با یکدیگر بر اساس ناحیه CP-UTR

Table7. Nucleotide identity between BgSMV isolates in CP- UTR region

Isolates	Jiroft	Ramhormoz	Behbahan	Shushtar	Andimeshk	Borazjan	Bushehr	Darab
Jiroft								
Ramhormoz	99.3							
Behbahan	98.8	98.6						
Shushtar	99.1	98.9	99.8					
Andimeshk	98.1	98.2	98.2	98.3				
Borazjan	97.4	96.8	97.3	97.4	96.7			
Bushehr	97.8	98.3	97.8	97.9	97.7	97.8		
Darab	93	93.1	93.4	93.5	93.1	92.4	92.5	

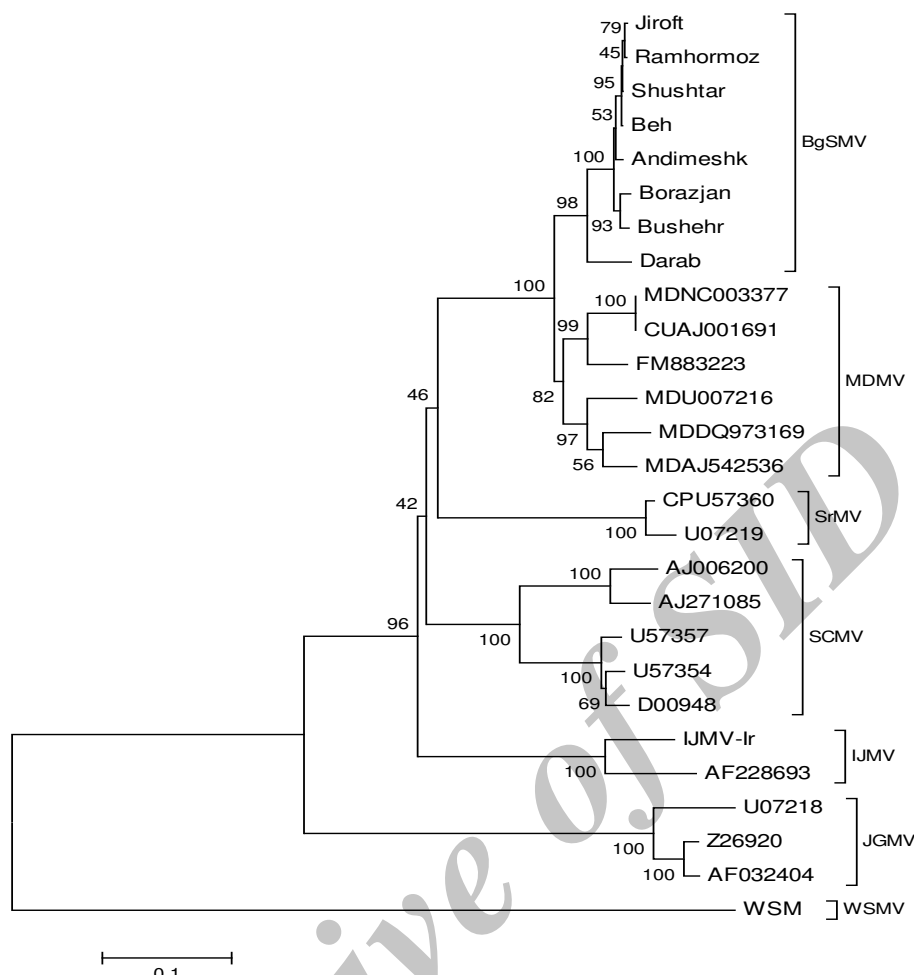
در صورتی که درون جدایه‌های MDMV این نسبت  $0.3653 \times 10^3$  محاسبه گردید (جدول ۸).

نشده است). هیچ نوع نوتروکیبی مشخصی در بررسی ناحیه CP-UTR جدایه‌های این ویروس با پوتی ویروس‌های دیگر غلات تشخیص داده نشد.

## بحث

با بررسی ترادف‌های به دست آمده ناحیه CP-UTR جدایه‌های مختلف BgSMV مشخص شد که پروتئین پوششی BgSMV دارای ۳۲۲ آمینو اسید است که با آمینو اسید آلانین آغاز می‌شود و کدون انتهایی آن در جدایه‌های Andimeshk و بوشهر TAA و در سایر جدایه‌ها، TGA می‌باشد. در همردیف‌سازی چندگانه این ویروس با سایر اعضای جنس پوتی ویروس، مشخص شد که این ویروس نیز همانند سایر اعضای ناحیه مرکزی حفاظت شده در ژن CP است، در صورتی که انتهای آمینی و کربوکسیلی این ناحیه متغیر می‌باشد. حفاظت شدگی بالا در ناحیه مرکزی ژن پروتئین پوششی مبین اهمیت این ناحیه در ساختار و هم آیش مولکول‌های CP است (Shukla and Ward 1989) (Reichmann *et al.* 1992). از بین پوتی ویروس و نیز برهمنکش‌های ویروس، ناقل و اختصاصی ویروس نیز در ناحیه terminal نشان‌دهنده نقش این ناحیه در فعالیت‌های BgSMV میزبان است.

بررسی انتخاب طبیعی درون گروهی و بین گونه‌های مختلف پوتی ویروس‌های غلات براساس آزمون‌های Tajima's test و Z-test در سطح ۵٪ تمام dN های محاسبه شده بین گروه‌ها کمتر از dS بود (با توجه به فرضیه صفر که dN=dS باشد) بنابر این انتخاب (selection) بین گروه‌ها حالت ختنی نداشته است. بنابراین میزان جانشینی مترادف و غیر مترادف برای گروه‌های مختلف محاسبه گردید. آزمون‌های میزان جانشینی غیر مترادف (dN) در حالت‌های مختلف بین جدایه‌های یک گونه و گونه‌های مختلف، نشان می‌دهد که جانشینی آمینو اسیدی در بین جدایه‌های BgSMV نسبت به سایر گونه‌ها بسیار پایین است (۰.۸۷۹٪). در صورتی که درون جدایه‌های MDMV و SCMV محاسبه گردید. همین طور جانشینی‌های مترادف نیز همین روند را داشت. نسبت dN/dS یا  $\omega$  نیز در بین جدایه‌های BgSMV کمترین مقدار را به خود اختصاص داده است.



شکل ۲. درخت فیلوزنیکی که رابطه BgSMV را با پوتی ویروس‌های غلات نشان می‌دهد. این فیلوگرام بر اساس ترافق نوکلئوتیدی ناحیه CP-UTR با روش Neighbour-joining و با استفاده از نرم افزار MEGA5 ترسیم شده است. اعداد روی شاخه‌ها نشان دهنده درصد bootstrapping هر کدام از آنهاست که گروه‌بندی را تأیید می‌کند. در این آنالیز از ویروس موزائیک رگه ای گندم به عنوان استفاده شده است. در سمت راست، گونه‌های ویروس مربوط به هر گروه از ترافق‌ها نشان داده شده است.

**Fig. 2. Phylogenetic tree illustrating the relationships of BgSMV with other cereal potyviruses. The phylogram was generated by using the neighbour-joining method by MEGA5 from multiple alignment of CP-UTR sequences. The number of each branch indicates the percentage of bootstraps, which support the grouping at that made. WSMV was used as an outgroup in this phylogram. The species acronyms present at the right of phylogram.**

در تمام جدایه‌های آنالیز شده این قطعه ۹۰ نوکلئوتیدی موجود و در موقعیت مشابهی قرار دارد. نتایج این مطالعه همچنین نشانگر حفاظت شدگی بسیار زیاد (نزدیک به ۱۰۰ درصد) در ترافق ناحیه ۹۰ نوکلئوتیدی در میان هشت جدایه مورد بررسی بود. در مورد نقش این ۹۰ نوکلئوتید و منشأ آن اطلاعی در دست نیست. ولی از

ویروس‌های غلات، BgSMV بیشترین تشابه نوکلئوتیدی را با MDMV دارد (Zare *et al.* 2005). علی‌رغم این تشابه بالا، در موقعیت نوکلئوتیدی ۱۹۸-۱۰۸ ژن BgSMV، CP یک ترافق ۹۰ نوکلئوتیدی معادل ۳۰ آمینواسید بیشتر از MDMV دارد (Zare *et al.* 2005). در این تحقیق علاوه بر تأیید مطالعات قبلی، مشخص شد که

Borazjan	:	CATCAAGCTGGTGA	AAATGTTG	CGCTGGCAGGA	ACTGAGCACAGAA	GAGCAA	AAA	AGAAGGGCTGAA	GAGAAC	AAGCAGAGAA	ACTGANGC	AAA	:	105				
Bushehr	:	CATCAAGCGGG	GA	AAATGTTG	AGI	GCTGGCAGGA	ACTGANGCACAGAA	GAGCAA	AAA	AGAAGGGCTGAA	GAGAAC	AAGCAGAGAA	ACTGANGC	AAA	:	105		
Beh	:	CATCAAGCTGGG	GA	AAATGTTG	AGI	GCTGGCAGGA	ACTGANGCACAGAA	GAGCAA	AAA	AGAAGGGCTGAA	GAGAAC	AAGCAGAGAA	ACTGANGC	AAA	:	105		
Shushtar	:	CATCAAGCTGGG	GA	AAATGTTG	AGI	GCTGGCAGGA	ACTGANGCACAGAA	GAGCAA	AAA	AGAAGGGCTGAA	GAGAAC	AAGCAGAGAA	ACTGANGC	AAA	:	105		
Jiroft	:	CATCAAGCTGGG	GA	AAATGTTG	AGI	GCTGGCAGGA	ACTGAGCACAGAA	GAGCAA	AAA	AGAAGGGCTGAA	GAGAAC	AAGCAGAGAA	ACTGANGC	AAA	:	105		
Ramhormoz	:	CATCAAGCTGGG	GA	AAATGTTG	AGI	GCTGGCAGGA	ACTGANGCACAGAA	GAGCAA	AAA	AGAAGGGCTGAA	GAGAAC	AAGCAGAGAA	ACTGANGC	AAA	:	105		
Andimeshk	:	CATCAAGCTGGG	GA	AAATGTTG	AGI	GCTGGCAGGA	ACTGANGCACAGAA	GAGCAA	AAA	AGAAGGGCTGAA	GAGAAC	AAGCAGAGAA	ACTGANGC	AAA	:	105		
Darab	:	CATCAAGCTGGG	GA	AAATGTTG	AGI	GCTGGCAGGA	ACTGAGCACAGAA	GAGCAA	AAA	AGAAGGGCTGAA	GAGAAC	AAGCAGAGAA	ACTGANGC	AAA	:	105		
CUAJ001691	:	CATCAAGCTGGG	GA	AAATGTTG	AGI	GCTGGCAGGA	ACTGAGCACAGAA	GAGCAA	AAA	AGAAGGGCTGAA	GAGAAC	AAGCAGAGAA	ACTGANGC	AAA	:	105		
MDU007216	:	-----	GTG	GGG	GA	AAATGTTG	AGI	GCTGGCAGGA	ACTGAGCACAGAA	GAGCAA	AAA	AGAAGGGCTGAA	GAGAAC	AAGCAGAGAA	ACTGANGC	AAA	:	99
		catcaaGctGGG	GA	AAATGTTG	AGI	GCTGGCAGGA	ACTGAGCACAGAA	GAGCAA	AAA	GCTGAA	GAGAAC	AAGCAGAGAA	CtGAA	GAA				
Borazjan	:	C	AAAAGCAA	GAGCG	TGAA	ACAACAAAGCAA	AGGAGATG	AGA	GGCAGAGAA	AGA	AGAGTC	GAGAGGAGC	AGC	CC	AAAG	:	210	
Bushehr	:	C	AAAAGCAA	GAGCG	TGAA	ACAACAAAGCAA	AGGAGATG	AGA	GGCAGAGAA	AGA	AGAGTC	GAGGGAGC	AC	CTG	AAAG	:	210	
Beh	:	C	AAAAGCAA	GAGCG	TGAA	ACAACAAAGCAA	AGGAGATG	AGA	GGCAGAGAA	AGA	AGAGTC	AAAGGAGC	CTG	CA	AAAG	:	210	
Shushtar	:	C	AAAAGCAA	GAGCG	TGAA	ACAACAAAGCAA	AGGAGATG	AGA	GGCAGAGAA	AGA	AGAGTC	AAAGGAGC	CTG	CA	AAAG	:	210	
Jiroft	:	C	AAAAGCAA	GAGCG	TGAA	ACAACAAAGCAA	AGGAGATG	AGA	GGCAGAGAA	AGA	AGAGTC	AAAGGAGC	CTG	CA	AAAG	:	210	
Ramhormoz	:	C	AAAAGCAA	GAGCG	TGAA	ACAACAAAGCAA	AGGAGATG	AGA	GGCAGAGAA	AGA	AGAGTC	AAAGGAGC	CTG	CA	AAAG	:	210	
Andimeshk	:	C	AAAAGCAA	GAGCG	TGAA	ACAACAAAGCAA	AGGAGATG	AGA	GGCAGAGAA	AGA	AGAGTC	AAAGGAGC	CTG	CA	AAAG	:	210	
Darab	:	C	AAAAGCAA	GAGCG	TGAA	ACAACAAAGCAA	AGGAGATG	AGA	GGCAGAGAA	AGA	AGAGTC	AAAGGAGC	CTG	CA	AAAG	:	210	
CUAJ001691	:	C	AAAAGCAA	GAGCG	TGAA	ACAACAAAGCAA	AGGAGATG	AGA	GGCAGAGAA	AGA	AGAGTC	AAAGGAGC	CTG	CA	AAAG	:	210	
MDU007216	:	C	AAAAGCAA	GAGCG	TGAA	ACAACAAAGCAA	AGGAGATG	AGA	GGCAGAGAA	AGA	AGAGTC	AAAGGAGC	CTG	CA	AAAG	:	114	
		CgAAAgca	ga	gc	gaaacaagcaaaaaggcagatga	ga	gc	agagaaaagaca	aga	a	gaagcagctga	aa	aagaa	gc	gaaga	GA	gCtAAG	

شکل ۳. مقایسه چند ردیفی ترادف ناحیه ۵ پروتئین پوششی جدایه‌های MDMV با وجود جدایه BgSMV در بانک ژن. محل حذف ۹۰ نوکلئوتیدی در ترادف‌های MDMV در موقعیت ۱۱۲ تا ۲۰۱ مشاهده می‌شود.

Fig. 3. Multiple alignment of 5'-region at coat protein gene of BgSMV and MDMV isolates. The deleted 90nt region has been showed at position 112 to 201 corresponding to BgSMV isolates.

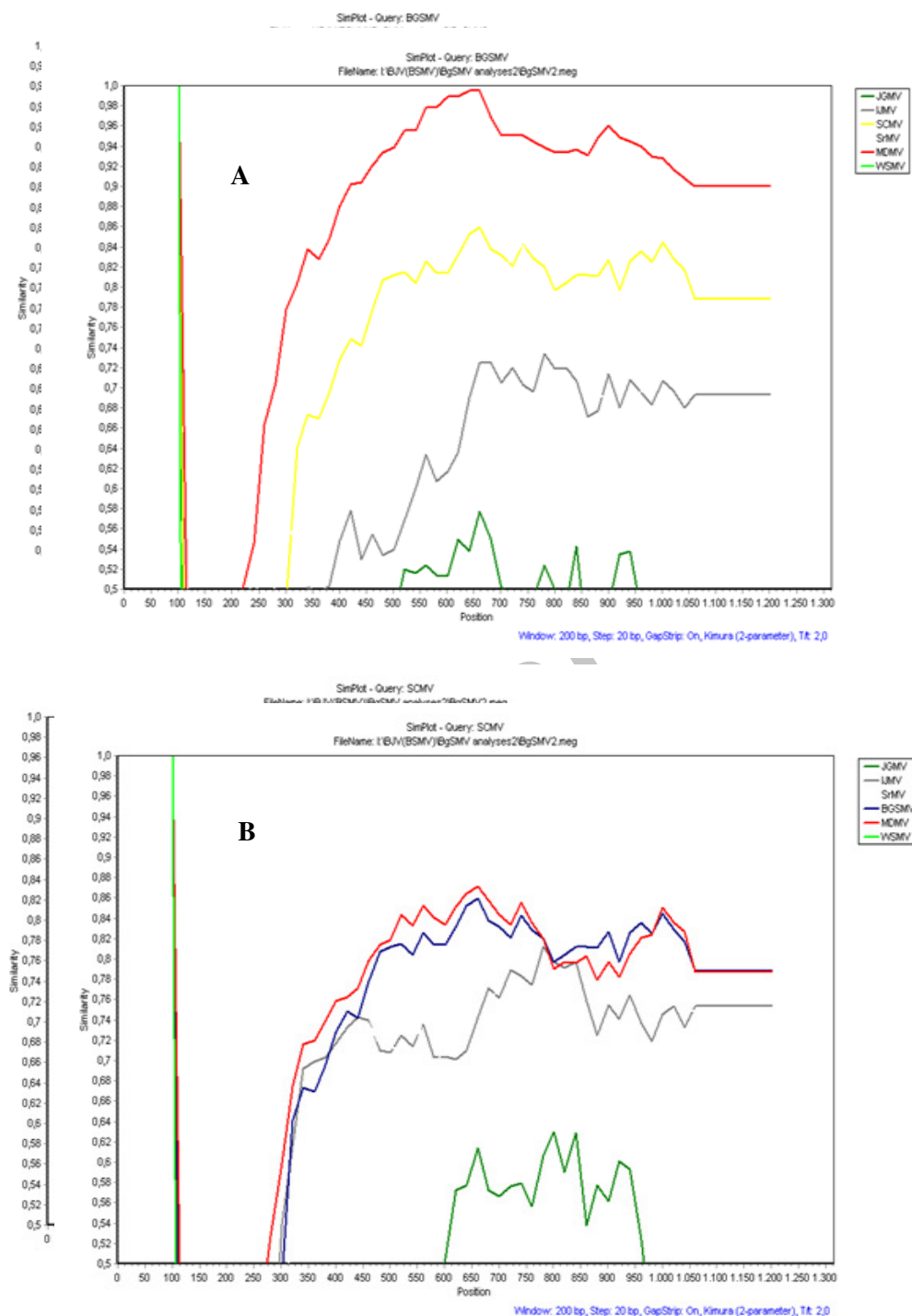
۶۲/۹۵ درصد شباهت اضافیین قربات را نشان می‌دهد که تأییدی بر مطالعات قبلی بود که براساس قسمتی از ژن پروتئین پوششی انجام شده بود (Masumi and Izadpanah 2002).

با مقایسه درصد مشابهت ژنتیکی (Genetic similarity) بین جدایه‌های مختلف BgSMV مشخص شد که علی‌رغم وجود انشعابات در درخت فیلوژنتیکی بین جدایه‌های BgSMV، میزان تنوع ژنتیکی (Genetic diversity) بین جدایه‌ها بسیار پایین است، به طوری که میانگین تشابه بین جدایه‌ها ۹۸/۱ درصد و کمترین میزان شباهت مربوط به جدایه‌های اندیمشک و برازجان و بیشترین شباهت مربوط به جدایه‌های بهبهان و شوشتر بود. علت این تنوع که شاید بتوان به رابطه تکاملی نزدیک ویروس-میزان نسبت داد. به نظر می‌رسد که به دلیل تکثیر غیر جنسی مرغ (ریزوم) و انتشار ویروس با اندام‌های غیرجنسی گیاه، نوعی سازگاری تکاملی بین ویروس و مرغ در طول زمان به وجود آمده و در نتیجه تنوع بسیار کمی در جدایه‌ها

آنجایی که این قطعه در ناحیه پایانی آمینی (N-terminal) قرار دارد و این ناحیه در سطح پیکره ویروس قرار گرفته و بنظر می‌رسد بیشتر در صفات بیولوژیکی مانند انتقال با شته و بر همکنش میزان-ویروس نقش داشته باشد، بنابراین شاید بتوان برخی تفاوت‌های بیولوژیکی بین BgSMV و MDMV مانند انتقال و دامنه میزانی را به این تفاوت نوکلئوتیدی نسبت داد (Revers *et al.* 1999).

در آنالیز فیلوژنتیک بر اساس ترادف نوکلئوتیدی ناحیه CP-UTR، پوتی ویروس‌های غلات در ۶ گروه شامل BgSMV، MDMV، SrMV، SCMV، IJMV، JgMV قرار گرفتند. نکته قابل توجه در این تقسیم‌بندی قرار گرفتن دو ویروس BgSMV و MDMV در دو شاخه جداگانه می‌باشد.

بر پایه مقایسه چند ردیفی در سطح نوکلئوتیدی BgSMV با سایر پوتی ویروس‌های غلات مشخص شد که BgSMV پس از MDMV با ۸۷/۸۵ تا ۶۴/۳۵، ۷۰/۶۵ IJMV و SCMV و SrMV به ترتیب با



شکل ۴. طرح مشابهت در ناحیه BgSMV CP- UTR (A) و SCMV (B) نسبت به سایر پوتوی ویروس‌های غلات

Fig. 4. Similarity plot in CP- UTR region of BgSMV (A) and SCMV (B) against other cereal potyviruses.

جدول ۸. تنوع ژنتیکی و نسبت جانشینی آمینواسیدی در گونه‌های مختلف و بین گونه‌های پوتوی ویروس‌های غلات

Table 8. Genetic diversity and amino acid substitution ratios in different species and inter-species of cereal potyviruses

		dN <sup>b</sup>	dS <sup>c</sup>	$\omega = dN/dS$	Genetic diversity( $\pi$ )
BgSMV <sup>a</sup>		0.0879	0.3509	0.2505	0.026
BgSMV	MDMV	0.3061	0.7870	0.3889	0.120
BgSMV	SrMV	0.3669	0.6188	0.5929	0.326
BgSMV	SCMV	0.5707	0.9242	0.6175	0.313
BgSMV	IJMV	0.4635	0.7096	0.6532	0.370
BgSMV	JGMV	0.6039	0.8226	0.7341	0.559
MDMV		0.1628	0.4456	0.3653	0.092
MDMV	SrMV	0.4702	0.7651	0.6146	0.326
MDMV	SCMV	0.6169	0.9717	0.6348	0.330
MDMV	IJMV	0.5095	0.8863	0.5748	0.376
MDMV	JGMV	0.7099	0.9678	0.7335	0.593
SrMV					0.030
SrMV	SCMV	0.5213	0.6739	0.7735	0.346
SrMV	IJMV	0.4369	0.4984	0.8766	0.410
SrMV	JGMV	0.5334	0.5935	0.8987	0.569
SCMV		0.2094	0.4099	0.5108	0.127
SCMV	IJMV	0.5214	0.8179	0.6375	0.372
SCMV	JGMV	0.6960	0.8889	0.7830	0.578
IJMV					0.124
IJMV	JGMV	0.6170	0.6991	0.8827	0.572
JGMV		0.0852	0.1531	0.5565	0.073
All species		1.5921	2.3788	0.6693	0.363

a. جانشینی آمینواسیدی و تنوع ژنتیکی برای جدایه‌های هر گونه بطور جداگانه و بین گونه‌ها (دو به دو) محاسبه گردید

b. جانشینی نا مترادف (non-synonymous)

c. جانشینی مترادف (synonymous)

a. Amino acid substitution and genetic diversity of isolates of each species separately and between species was calculated

بسیار پایین در بین جدایه‌های است که این می‌تواند ناشی از آثار محیطی باشد که در تمام این مناطق گرم‌سیر وجود دارد.

مقایسه روند تغییرات و تشابه ترادف نوکلئوتیدی CP-UTR BgSMV در با سایر پوتوی ویروس‌ها نشان داد که این ویروس به ترتیب با MDMV، SCMV و IJMV بیشترین شباهت را دارد. این تشابه در ناحیه ۵' زن CP کمترین مقدار است و از حدود موقعیت نوکلئوتیدی ۲۲۰

ایجاد شده است. در مواردی می‌توان پائین بودن تنوع را به محدودیت در دامنه میزبانی و فشار کارکردی (Functional constraint) که در رابطه بین میزبان و ویروس وارد می‌شود و اجازه تنوع به ویروس نمی‌دهد، نسبت داد (Gorbalena 1992; Garcia-Arenal *et al.* 2001). دومین نکته‌ای که می‌توان اشاره کرد به رغم پراکندگی جغرافیایی وسیع در استان‌های جنوب کشور، وجود تنوع

غلات مقایسه شدند، نشان داد که این دو ویروس با یکدیگر بیشترین تشابه به خصوص در ناحیه مرکزی ژن CP را دارند و پس از آن به ترتیب با SrMV، SCMV و IJMV بیشترین شباهت را دارند. در مقایسه بین SCMV با ویروس‌های دیگر، MDMV و BgSMV روند تغییرات مشابهی داشتند که نشان‌دهنده تشابه بسیار زیاد این دو ویروس با یکدیگر بود.

تنوع ژنتیکی ( $\pi$ ) در درون گونه‌های مختلف متفاوت است اگرچه با تعداد اندک جدایه‌ها در این آنالیز امکان بیان دقیق از تنوع ژنتیکی در درون گونه‌های این زیر گروه کمتر خواهد بود، اما در مقایسه با درخت فیلوزنوتیکی، تفاوت‌های بین گونه‌ها همخوانی دارد. مقدار  $\pi$  در درون جدایه‌های BgSMV ۰/۰۲۶ و برای MDMV ۰/۰۹۲ و برای SCMV ۰/۱۲۷ محاسبه شد. تعداد جدایه‌های استفاده شده از این سه گونه تقریباً برابر است ولی BgSMV کمترین مقدار تنوع را دارد.

فاصله ژنتیکی SrMV که نزدیک‌ترین گونه به MDMV و BgSMV است با هر دو ویروس یکسان است (۰/۳۲۶)، ولی ارزش  $\omega$  بین BgSMV و SrMV با مقدار ۰/۵۹۲۹ کمتر از MDMV و SrMV با مقدار ۰/۶۱۴۶ است.

پایین بودن میانگین کل ( $0/6693$ ) نشان‌گر نقش احتمالی انتخاب منفی (Negative selection) در تنوع و تکامل این گونه‌ها می‌باشد و مقادیر  $\omega$  با روابط فیلوزنوتیک بین گونه‌ها همخوانی دارد. به عنوان مثال بین BgSMV و SrMV این مقدار ۰/۳۸۸۹ و بین BgSMV و MDMV ۰/۵۹۲۹ محاسبه گردیده است که این براساس آنالیز فیلوزنوتیک طبیعی به نظر می‌رسد. طبیعی است که تنوع جغرافیایی و میزانی می‌تواند رابطه مستقیم با تغییرات نوکلئوتیدی و جانشینی آمینو اسیدی داشته باشد. این

به تدریج افزایش پیدا می‌کند و در حدود ۶۸۰ به حداقل مقدار خود می‌رسد و سپس به تدریج کم می‌شود (شکل ۴). ناحیه ابتدای ژن CP متغیرترین و ناحیه میانی (Core protein) حفاظت شده‌ترین ناحیه CP است. عدم وقوع نوترکیبی در بین BgSMV و سایر پوتوی ویروس‌های غلات نشان‌دهنده تکامل مستقل این ویروس در بین پوتوی ویروس‌ها و جدایه جغرافیایی (Geographical isolation) بین آنهاست. بنابراین تشابه بین BgSMV و سایر پوتوی ویروس‌ها نمی‌تواند به دلیل وقوع نوترکیبی باشد و نیز نوترکیبی نمی‌تواند در تکامل این ویروس و تمایز جدایه‌های آن نقش داشته باشد. بنابراین قطعه ۹۰ نوکلئوتیدی که در تمام جدایه‌ها با حفاظت شدگی بالا در شرایط یکسان وجود دارد و هم‌چنین پراکنش این ویروس در مناطق جنوبی ایران با وجود موانع طبیعی زیاد، نشان‌دهنده قدمت طولانی این ویروس بومی در ایران است.

با مقایسه تراالف نوکلئوتیدی SCMV با ویروس‌های دیگر مشخص شد که روند تغییرات در تمام طول ناحیه CP-UTR بین BgSMV و MDMV یکسان است و این تغییرات در طول این ناحیه مشابه روند قبلی است که ناحیه ۵' متغیرترین و ناحیه میانی، حفاظت شده ترین قسمت ژن CP می‌باشد. همچنین در آنالیز تشابه نوکلئوتیدی (SimPlot) با برنامه‌های SimPlot و MaxKai و Bootscan هیچ گونه نوترکیبی بین BgSMV و سایر پوتوی ویروس‌های غلات به ویژه MDMV مشاهده نگردید.

نتایج به دست آمده از آنالیز با نرم‌افزار SimPlot زمانی که MDMV و BgSMV هر کدام به طور جداگانه به عنوان مبدأ قرار داده شدند و با سایر پوتوی ویروس‌های

به هم به کار برده‌اند، مطابقت داد. از طرف دیگر با توجه به خصوصیات بیولوژیک متفاوت مانند عدم توانایی انتقال به قیاق و وجود ۹۰ نوکلئوتید اضافه (۳۰ آمینواسید) در ناحیه آمینی ژن CP و عدم توانایی انتقال با شته گونه‌ای مجزا و نزدیک به MDMV در جنس *Potyvirus* (Zare *et al.* 2005) *R. maydis* می‌توان آن را به عنوان گونه‌ای مجزا و نزدیک به MDMV در نظر گرفت.

### سپاسگزاری

بدین وسیله نگارنده‌گان از حمایت مالی و سایر مساعدت‌های مرکز تحقیقات ویروس‌شناسی گیاهی و قطب علمی ویروس‌شناسی در انجام این تحقیق صمیمانه قدردانی می‌نماید.

### منابع

جهت ملاحظه به صفحات (21-23) متن انگلیسی مراجعه شود.

تغییرات در روند تکاملی می‌تواند منجر به گونه‌زایی شود. با توجه به این‌که تنوع میزبانی طبیعی و جغرافیایی MDMV بیشتر از BgSMV است بدیهی است که تنوع جانشینی نوکلئوتیدی و تنوع ژنتیکی نیز بیشتر باشد. به همین جهت پایداری BgSMV نیز قابل توجیه است. طبق نظریه شوکلا و وارد (Shukla and Ward 1988) و فرنکل و همکاران (Frenkel *et al.* 1989) در پوتی ویروس‌های غلات، سویه‌هایی با شباهت بیش از ۹۰٪ به عنوان یک ویروس محسوب می‌شوند. این در حالی است که بر اساس مطالعات آدامز و همکاران (Adams *et al.* 2004) میزان تشابه ۷۶-۷۷ درصد در سطح نوکلئوتیدی در ژن CP مرز بهینه گونه‌ها و ۹۰-۹۹ درصد تشابه به عنوان مرز سویه‌ها پیشنهاد شده است. نتایج بدست آمده در مورد تشابه نوکلئوتیدی بالای دو ویروس BgSMV و MDMV (۸۵-۹۰٪)، را می‌توان با نظریه مینک و همکاران (Mink *et al.* 1994) که دامنه تشابه ۷۵ تا ۸۹ درصد را برای تمایز ویروس‌های نزدیک

## GENETIC VARIATION OF BERMUDA GRASS SOUTHERN MOSAIC VIRUS ISOLATES BASED ON SEQUENCE OF 3' REGION OF GENOME\*

F. FARAHBAKHSH<sup>1</sup>, M. MASUMI<sup>2\*\*</sup>, A. AFSHARIFAR<sup>1</sup>, K. IZADPANAH<sup>1</sup>  
and N. RAHPEYMA SARVESTANI<sup>3</sup>

(Received :09.10.2012; Accepted : 16.01.2013)

### Abstract

Bermuda grass southern mosaic virus (BgSMV) is a widespread potyvirus inducing mosaic on Bermuda grass in warm regions of southern Iran. In this study, various geographical isolates of the virus were compared phylogenetically. Bermuda grass samples showing mosaic symptom were collected from Jiroft, Bushehr, Borazjan, Ramhormoz, Andimeshk, Shushtar, Behbahan and Darab. Viral RNA was extracted and reverse transcription polymerase chain reaction (RT-PCR) was conducted using specific primers for amplification of the 3' region (CP- UTR) of the viral genome. PCR- products were cloned and sequenced. The sequences of CP- UTR region of BgSMV isolates were compared with each other and with available sequences of cereal potyviruses in the GenBank. Phylogenetic analyses showed that all sequences were grouped into six clades of BgSMV, *Maize dwarf mosaic virus* (MDMV), *Sugarcane mosaic virus* (SCMV), *Johnson grass mosaic virus* (JGMV), *Sorghum mosaic virus* (SrMV), Iranian Johnson grass mosaic virus (IJMV) and *Zea mosaic virus* (ZeMV). IJMV and ZeMV were grouped in the same clade. Among potyviruses, BgSMV was close to MDMV. However it had an additional 90- nucleotide stretch in frame (30 amino acids) in the 5' region of the coat protein compared with MDMV. This difference was consistent in all BgSMV isolates. The mean of the nucleotide similarity in CP- UTR region among BgSMV isolates was 98.1% which indicates low level of genetic diversity in intra- population of BgSMV. Despite the high nucleotide sequence similarity between BgSMV and MDMV, differences between the two viruses in host range and serology, and presence of additional 90 nt in the 5' region of CP gene, make BgSMV a distinct potyvirus species close to MDMV.

**Keywords:** Potyviruses, Phylogenetic analysis, MDMV, BgSMV, CP-UTR.

See Persian text for figures and tables (Pages ۷۱-۷۵).

\*: A Part of MSc. Thesis of the first Author Submitted to College of Agriculture, Shiraz University, Shiraz, Iran.

\*\*: Corresponding Author, Email: masoumi@shirazu.ac.ir

1. Grad. Student , Assoc. Prof. and Prof. of Plant Pathol., PVRC, Shiraz University, Shiraz, Iran.

2. Res. Assis. Prof. of Agricultural and Natural Resource Research Center of Fars and PVRC, Shiraz University, Shiraz, Iran.

3. Grad. Student of Plant Breed., College of Agric., Shiraz University, Shiraz, Iran.

## References

- ADAMS, M.J., ANTONIW, J.F. and FAUQUET, C.M. 2004. Molecular criteria for genus and species discrimination within the family *Potyvirideae*. **Arch. Virol.** 150: 459-479.
- BUDDENHAGEN, L.W. 1983. Crop improvement in relation to virus diseases and their epidemiology. Pp. 25-37, In: Plumb, R.T. and Thresh, J.M. (Eds.), **Plant Virus Epidemiology**. Blackwell Scientific Pub., London.
- FRENKEL, M.J., WARD, R.G. and SHUKLA, D.D. 1989. The Use of 3 non-coding nucleotide sequences in taxonomy of potyviruses: Application to watermelon mosaic virus 2 and soybean mosaic virus. **J. Gen. Virol.** 70: 2775-2783.
- GARCÍA-ARENAL, F., FRAILE, A., and MALPICA, J.M. 2001. Variability and genetic structure of plant virus populations. **Annu. Rev. Phytopathol.** 39: 157-186.
- GARRIDO, J.M. and TRUJILLO, G.E. 1992. Additional hosts of the Venezuelan strain of maize dwarf mosaic virus. **Revista de la Facultad de Agronomía. Universidad Central de Venezuela** 18: 67-77. (Abstr. In :**Rev. Plant Pathol.** 72: 491).
- GHASEMI, S. and K. IZADPANAH. 2000. Properties of a potyvirus causing mosaic in *Eleusine compressa* in Busheher province. **Proc. 14<sup>th</sup> Iran. Plant Protec. Cong., Isfahan, Iran**, 22 (Abst.).
- GORBALENA, A. E. 1992. Host-related sequences in RNA viral genomes. **Seminars in Virol.** 3:359-371.
- HA, C., COOMBS, S., REVILL, P. A., HARDING, R. M., VU, M. and DALE, J. L. 2007. Design and application of two novel degenerate primer pairs for the detection and complete genomic characterization of potyviruses. **Arch. Virol.** 153:25-36.
- HOLMES, D. S. and QUIGLEY, M. 1981. A rapid boiling method for the preparation of bacterial plasmids. **Anal. Biochem.** 114: 193-197.
- HOSSEINI, A., KOOHI HABIBI, M., IZADPANAH, K., MOSAHEBI, G. H., RUBIES-AUTONELL, C. and RATTI, C. 2010. Characterization of a filamentous virus from Bermuda grass and its molecular, serological and biological comparison with Spartina mottle virus. **Arch. Virol.** 155:1675–1680.
- HOSSEINI, M. and IZADPANAH, K. 2005. Biological, serological and physicochemical properties of Bermuda grass filamentous viruses from Iran. **Parasitica** 61: 55-59.
- IZADPANAH, K. , M. ZAKI-AGHL, Y. P. ZHANG, S. D. DAUBERT and A. ROWHANI. 2003. Bermuda grass as a potential reservoir host for *Grapevine fanleaf virus*. **Plant Dis.** 87:1179-1182.
- IZADPANAH, K. 1989. Report of two Bermuda grass viruses from Iran. **Proc. 9<sup>th</sup> Plant Protec. Cong., Iran, Mashhad, Iran**, 161 (Abst.).
- JACUET, C., DELLECOLE, B., LEQOQ, H., DUNEZ, J. and RAVELONANDRO, M. 1998. Use of modified Plum pox virus coat protein genes developed to limit heteroencapsulation-associated risks in transgenic plant. **J. Gen. Virol.** 79: 1509-1517.
- JORDA, C., ORTEGA, A. and JUAREZ, M. 1995. New hosts of tomato spotted wilt virus. **Plant Dis.** 79: 538.
- LOCKHART, B. E. L., KHALESS, N., LENNON A. M. AND EL MAATAOUI, M. 1985a. properties of Bermuda grass etched-line virus, a new leafhopper-transmitted virus related to maize rayado fine and oat blue dwarf viruses. **Phytopathology** 75:1258-1262.
- LOCKHART, B. E. L., KHALESS, N., EL MAATAOUI, M. and LASTRA. R. 1985b. Cynodon chlorotic streak virus, a previously undescribed plant rhabdovirus infecting Brmuda grass and maize in the Mediterranean area. **Phytopathology** 75:1094-1098.
- LOUIE, R. 1980. Sugarcane msaic virus in Kenya. **Plant Dis.** 64:994-947.
- MCKIRDY, S.J. and JONES, R.A.C. 1993. Occurance of Barley yellow dwarf virus serotypes MAV and RMV in over-summering grasses. **Aust. J. Agric. Res.** 44: 1165-1209. (Abstr. In Rev. Plant Pathol. 73:1595- 1994).
- MARIE- JEANNE, V., LOOS, R., PEYRE, J., ALLIOT, B. and SIGNORET, P. 2000. Differentiation of Poaceae potyviruses by reverse transcription– polymerase chain reaction and restriction analysis. **J. Phytopathol.** 148: 141-151.
- MASUMI, M., ZARE, A., GHASEMI, S. and IZADPANAH, K. 2004. Relationship between two dominant strains of Sugarcane mosaic virus (SCMV) from Khuzistan and other SCMV strains based on

- nucleotide sequence of 3'- region of the genome. **Proc. 16<sup>th</sup> Iran. Plant. Protec. Cong., Tabriz, Iran**, 314 (Abst.).
- MASUMI, M. and IZADPANAH, K. 2002. Partial sequence of CP region of genome of transmisson, purification and serology of Bermudagrass Jiroft mosaic virus and comparision with other cereal potyviruses. **Proc. 15<sup>th</sup> Iran. Plant Protec. Cong. , Kermanshah, Iran**, 51 (Abst.).
- MASUMI, M. and IZADPANAH, K. 2000. Transmisson, Purification and serology of Bermudagrass mosaic virus. **Proc. 14<sup>th</sup> Iran. Plant Protec. Cong. , Isfahan, Iran**, 182 (Abst.).
- MASUMI, M. and IZADPANAH, K. 1998. Bemuda grass mosaic in Iran. **Proc. 13<sup>th</sup> Iran. Plant. Protec. Cong. , Karaj, Iran**, 314 (Abst.).
- MASUMI, M. and IZADPANAH, K. 1996. Properties of the Iranian isolate of Bermuda grass etched-line virus. **J. Phytopathol.** 144: 231-234.
- MCDANIEL, L.L. AND GORDON, D.T. 1989. Characterization of oat infecting strain of maize dwarf mosaic virus. **Phytopathology** 79: 113-120.
- MINK, G.I., VETTEN, H.J., WARD, C.W., BERGER, P.H., MORALES, F.J., MYERS, J.M., SILBERNAGEL, M.J. and BARNETT, O.W. 1994. Taxonomy and classification of legume-infecting potyviruses. A proposal from the Potyviridae study group of the plant virus subcommittee of the ICTV. **Arch. Virol.** 139: 231-235.
- NEI, M. and KUMAR, S. 2000. **Molecular Evolution and Phylogenetics**. Oxford University Press, New York 333 pp.
- PAGE, R. D. M. 1996. TREEVIEW: an application to display phylogenetic trees on personal computers. **Comput. Appl. Biosci.** 12: 357–358.
- RAY, S. C. 1999. SimPlot for windows 95/98/NT, 2.5 edn. Distributed by author: [http://sray.med.som.jhmi.edu/Ray\\_Soft/SimPlot/](http://sray.med.som.jhmi.edu/Ray_Soft/SimPlot/).
- REICHMANN, J.L, LAIN, S. and GARCÍA, J.A. 1992. Highlights and prospects of potyvirus molecular biology. **J. Gen. Virol.** 73: 1-16.
- REVERSE, F., OLEGALL, O., CANDRESSE, T. and MAULE , A.J. 1999. New advances in understanding the molecular biology of plant/potyvirus interaction. **MPMI** 12: 367-376.
- SHUKLA, D.D. and WARD, C.W. 1989. Structure of potyvirus coat proteins and its application in the taxonomy of the potyvirus group. **Adv. Virus Res.** 36: 273-314.
- SHUKLA, D.D. and WARD, C.W. 1988. Amino acid homology of coat proteins as a basis for identification and classification of potyvirus group. **J. Gen. Virol.** 96:2703-2710.
- TAMURA, K., PETERSON, D., PETERSON, N., STECHER, G., NEI, M. and KUMAR, S. 2011. MEGA5: Molecular Evolutionary Genetics Analysis using Maximum Likelihood, Evolutionary Distance, and Maximum Parsimony Methods. *Molecular Biology and Evolution* (submitted). <http://www.kumarlab.net/publications>
- THOMPSON, J. D., GIBSON, T. J., PLEWNIAK, F., JEANMOUGIN, F. and HIGGINS, D. G. 1997. The ClustalX windows interface: -xible strategies for multiple sequence alignment aided by quality analysis tools. **Nucleic Acids Res.** 24: 4876-4882.
- ZARE, A., MASUMI, M. and IZADPANAH, K. 2005. Bermuda grass southern mosaic virus: A distinct potyvirus infecting several gramineous species in Iran. **Parasitica** 61: 105-110.